# عوامل مؤثر بر پاسخ گذرای حسکرهای مقاومتی گاز

## محمد عروتی نیا $^{\prime}$ ، فرامرز حسین بابایی $^{**}$

۱- دانشجوی دوره دکتری، دانشکده مهندسی برق، دانشگاه صنعتی خواجه نصیرالدین طوسی
 ۲- دانشیار، دانشکده مهندسی برق، دانشگاه صنعتی خواجه نصیرالدین طوسی

## \* تهران، صندوق پستی ۱۳۵۵– ۱۶۳۱۵ fhbabaei@shaw.ca

چکیده – لایههای حساس به گاز به کار رفته در ساخت حسگرهای مقاومتی گاز ابه روشهای گوناگونی ساخته می شوند. در این مقاله برای اولین بار تأثیر روش ساخت در یکی از مهمترین ویژگیهای کاربردی این حسگرها یعنی پاسخ گذرا، به طور عملی بررسی شده است. لایههایی از اکسیدهای قلع و روی به روشهای TPVD، TLPCVD، و "پرس کم فشار پودر" تهیه شد. حسگرهای مقاومتی گاز ساخته شده بر اساس این لایهها مورد آزمایش قرار گرفت. پاسخ گذرای این حسگرها به تغییر پلهای در ترکیب اتمسفر، ثبت و مقایسه شد. بر اساس این مقایسه مشخص شد که ضخامت لایه، بافت و مقدار تخلخل در ساختار لایه حساس همراه با جرم ملکولی گاز هدف، مؤثر ترین عوامل در تعیین پاسخ گذرا هستند. چگونگی ارتباط این عوامل با تغییر زمانی هدایت الکتریکی در حسگر مورد تحلیل کیفی قرار گرفت و ملاحظه شد که سرعت پاسخ به طور مستقیم با ضریب تخلخل لایه حساس مرتبط است، لیکن زمان پاسخ با افزایش ضخامت لایه حساس و افزایش جرم ملکولی گاز هدف افزایش می یابد. حسگر حاصل از روش EPD با دارا بودن ضخامت لایه حساس و افزایش جرم ملکولی گاز هدف افزایش می یابد. حسگر حاصل از روش CVD، علی رغم داشتن ضخامت کم – به علت پایین بودن ضریب تخلخل – کندترین وحسگرهای ساخته شده به روش CVD، علی رغم داشتن ضخامت کم – به علت پایین بودن ضریب تخلخل – کندترین بودند.

**کلید واژگان:** حسگر گاز، اکسید قلع، اکسید روی، پاسخ گذرا، EPD ،PVD ،LPCVD.

#### 1 - مقدمه

حسگرهای مقاومتی گاز از اهمیت بالایی در صنعت برخوردارند. اندازه فیزیکی میلیمتری، امکان تولید انبوه، پاسخ سریع، قابلیت یکپارچه سازی با مدارهای الکترونیکی و ارزانی از جمله مزایای این قطعات نسبت به انواع دیگر حسگرهای گاز است. این مزیتها باعث شده است که بخش قابل ملاحظهای از توان تحقیقاتی پژوهشگران در زمینهٔ حس بویایی مصنوعی به بهبود عملکرد این حسگرها معطوف شود.

هدف این تحقیقات عمدتاً افزایش حساسیت، سریعتر

کردن پاسخ و بهبود انتخابگری آین حسگرها بوده است. قسمتی از این تحقیقات به بررسی تأثیر روشهای ساخت و ریز ساختار لایه حساس حاصل در کارایی حسگرها اختصاص دارد [۱-۳]. برای مثال به منظور افزایش حساسیت و انتخابگری این حسگرها روشهای گوناگونی به کار رفته که استفاده از انواع آلایش [۴، ۵]، غربال ملکولی [8] و آرایش با لایههای کاتالیزر [8] و آرایش با لایههای کاتالیزر [8] و آرایش با لایههای کاتالیزر [8] و آرایش با در استفاده از آن

<sup>1.</sup> Resistive Gas Sensor

<sup>2.</sup> Low Pressure Chemical Vapor Deposition

<sup>3.</sup> Physical Vapor Deposition

<sup>4.</sup> Electerophoretic Deposition

<sup>5.</sup> Low Pressure Powder Pressing

<sup>6.</sup> Selectivity

<sup>7.</sup> Molecular Sieve

اهمیت حسگرهای مقاومتی به دلیل استفاده از آنها در آرایههای حسگر، مضاعف شده است [۷، ۸]. این آرایهها متشکل از تعدادی حسگر با ویژگیهای ساختاری و عملکردی متفاوت بوده و جزء اصلی بینی الکترونیکی میباشند[۱۱]. پاسخ اجزای آرایه معمولاً از طریق اتصال به شبکه عصبی [۱۲] تحلیل شده و گاز هدف شناسایی میشود [۱۳]. ویژگیهای کاربردی حسگرهای مقاومتی بسادگی با تغییر ساختار لایه حساس قابل تغییر است و لذا، آنها اجزای مناسبی برای آرایههای مورد استفاده در طراحی بینی الکترونیکی هستند [۱۲].

بررسی پاسخ گذرای حسگر مقاومتی و شناخت عوامل مؤثر بر آن حائز اهمیت است و این امکان را می دهد تا در هنگام طراحی و ساخت، ویژگیهای عملیاتی حسگر برحسب کاربرد مورد نظر بهینه گردد. برای مثال، در سیستمهای اعلام نشت گازهای قابل انفجار [۱۵]، سرعت پاسخ حسگر حائز اهمیت بسیار زیادی است. از طرف دیگر درسیستمهای شناسایی گاز مبتنی بر پاسخ گذرا، لازم است تمهیدات خاصی برای ارتباط هرچه بیشتر پاسخ گذرا با جنس گاز اندیشیده شود. در کاربرد اخیر، پاسخ گذرا باید از عوامل دیگری مانند خصوصیات فیزیکی و شیمیایی لایه حساس و ویژگیهای محیط فیزیکی و شیمیایی لایه حساس و ویژگیهای محیط بهکارگیری، مستقل باشد.

تاکنون از روشهای مختلفی برای تحلیل پاسخ گذرای حسگرهای مقاومتی گاز استفاده شدهاست [۱۸–۱۸]. ایس روشها عموماً بر پایه حل معادله نفوذ گاز در بدنه حساس حسگر استوار بوده است [ ۲۰٬۱۹]. مؤلفان حاضر در کارهای اخیر خود با ثبت و بررسی پاسخ گذرا، روشهایی را برای شناسایی گاز هدف پیشنهاد کردهاند [۲۰– ۲۳]. در این مقاله هدف آن است که با بررسی کیفی پاسخ گذرای انواع مختلفی از حسگرهای مقاومتی گاز، بدون وارد شدن به پیچیدگیهای تحلیلی، حسگرهای با ریز ساختار متفاوت را از دیدگاه سرعت پاسخ مقایسه کنیم. در واقع

هدف ما یافتن رابطه ای کیفی بین ریز ساختار لایهٔ حساس و سرعت پاسخ است. در طی این کار لایه های حساس اکسید روی و قلع را به روشهای LPCVD ، LPCVD و "پرس پودر" ساختیم. این لایه ها از نظر ریزساختار و ویژگیهایی عملکردی، به عنوان لایه حساس حسگر مقاومتی گاز مورد مطالعه و مقایسه قرار گرفت. در تحقیق حاضر برای اولین بار روابطی مشخص و قابل تکرار بین روش ساخت و ریز ساختار لایهٔ حساس از یک طرف و پاسخ گذرای حسگر از طرف دیگر حاصل شده است که ارائه می شود.

## ۲- کار آزمایشگاهی

قطعات حساس به گاز الکتروسرامیکی بر اساس PVD ،LPCVD ، LPCVD، اکسیدهای روی و قلع، به روشهای EPD ، قطعات EPD و "پرس کم فشار پودر" شکل داده شد. قطعات تولید شده به روشهای EPD و "پرس کم فشار پودر" پس از شکلدهی سینتر شد که مراحل ساخت را در متون دیگری گزارش کردهایم [۲۴]. در این بخش چکیدهای از عملیات آورده می شود.

لایههای تهیه شده به روش LPCVD: لایههای اکسید قلع SnCl<sub>4</sub> از هیدرولیز بخار کلرید قلع SnCl<sub>4</sub> از هیدرولیز بخار کلرید قلع SnCl<sub>4</sub> ( Merk #7810 ) بر روی زیر پایههای شیشه و Porcelain در دمای ۳۵۰°C و در محفظه کمفشار نشانده شد [۲۵، ۲۵]. محفظه واکنش از استوانه فلزی به قطر mn، ارتفاع ۴۰ cm و ضخامت mm ۸ ساخته شده است. در هنگام انجام واکنش، فشار محفظه به ۲۰–۲۰ Torr می رسد. اندازه گیریها نشان می دهد که ضخامت لایههای حاصل کمتر از ۵۰۰ ست. لایههای اکسید قلع حاصل، مستقیماً برای ساخت حسگر مقاومتی گاز به کار رفت.

لایههای تهیه شده به روش PVD: با استفاده از روش تبخیر با شعاع الکترونی، لایههای اکسید قلع (SnO<sub>2</sub>) بر

<sup>1.</sup> Electronic Nose

روی زیر پایههای شیشه و Porcelain نشانده شد. اکسید قلع به کار رفته در این تحقیق، از نوع سینتیک تجاری Westwood Ceramic محصول شرکت WC/IP-684) ست. لایههای حاصل، چسبندگی خوبی را به سطح زیر پایهها داشتند. هدایت الکتریکی این نمونهها در دمای اطاق کمتر از  $\mathbf{S}^{V}$  بوده و با امکانات موجود قابل اندازه گیری نبود. با ترمیم حرارتی این نمونهها در دمای بندریج افزایش می یابد. نمونهها پس از فرایند ترمیم، برای ساخت حسگر به کار برده شدند.

لایسه های تهیسه شده بسه روش EPD: لایسه نشانی الکتروفورتیکی (EPD) یکی از روشهای شکل دهی مواد سرامیکی است که در سالهای اخیر مورد توجه بیشتری قرار گرفته است [۲۷، ۲۹]. در ایس روش ذرات سرامیکی شناور در یک سوسپانسیون، بار الکتریکی دریافت کرده و با اعمال میدان الکتریکی مستقیم بسه حرکت در می آیند [۳۰]. سازوکار لایه نشانی بسدین ترتیب است که ابتدا ذرات تحت تأثیر میدان الکتریکی بسه سمت یکی از دو قطب حرکت کرده و بر سطح الکترود (زیرپایه) می نشینند. در خاتمه، لایه نشانده شده از سلول خارج و پس از خشک شدن در کورهٔ مناسبی تفجوش می شود.

لایههای ضخیم ZnO به روش EPD نشانده شد. اکسید روی به کار رفته به صورت پودر نیرم و از نیوع سینتتیک تجارتی بیا خلوص ۹۹/۸ (اکسید روی پارس، ایبران) است. شرح روش لایه نشانی در مرجع [۲۸] آورده شده است. برای پایداری مکانیکی و برقراری اتصال الکتریکی مناسب بین ذرات اکسید روی، لازم است این لایهها در دمای حدود  $^{\circ}$  ۲۰۰۰ تفجوش شوند. به عنوان زیبر پایه در لایه نشانی EPD، آلیاژ آلومینو – فرو – کروم را به کار بردیم (A-1) آلیاژ آلومینو بامی این آلیاژ ۵٪ بردیم (A-1) کسروم و ۷۰٪ آهی است. در دمیای آلیاژ ۵٪

تفجوشی، سطح زیر پایه اکسید شده و لایه اکسید حاصل ( $Al_2O_3$ )، لایه حساس را از نظر الکتریکی از زیر پایه جدا می کند.

بدنه های تهیه شده به روش پرس پودر: ساخت بدنه حساس به گاز به روش پرس پودر به علت سادگی عملیات ساخت و کنترل ضخامت لایه، مورد توجه است عملیات ساخت و کنترل ضخامت لایه، مورد توجه است تخلخل را کنترل کرد [۲۲]. دو نوع بدنه حساس به گاز تخلخل را کنترل کرد [۲۲]. دو نوع بدنه حساس به گاز در [۳۲] آورده شده است. بدنه های حاصل پس از پرس، در [۳۲] آورده شده است. بدنه های حاصل پس از پرس، پایداری فیزیکی مناسبی نداشته و در دمای اتاق عایق هستند. این بدنه ها در کوره الکتریکی مجهز به مافل EX.2.1500 شرکت اکسایتون، ایران) در حضور هوا تفجوش شد. اکسید روی در دمای  $^{\circ}$  ۱۰۰۰ براحتی تفجوش می شود لیکن بدنهٔ اکسید قلع به دمای بالاتری نیاز دارد. افزودن ۲٪ از  $SiO_2$  به پودر  $SiO_2$  قبل از عمل پرس، دمای تفجوشی را تا دمای حدود  $SiO_2$  بایین پرس، دمای تفجوشی را تا دمای حدود  $SiO_2$  بایین می آورد [m]

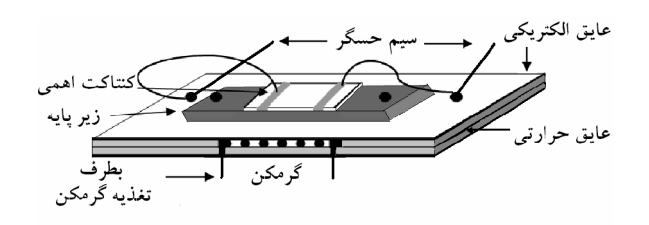
پس از ساخت لایههای حساس، ریز ساختار آنها توسط SEM بررسی شد. لایههای تهیه شده به روشهای CVD بررسی شد. لایههای تهیه شده به روشهای PVD و PVD پس از ترمیم حرارتی، در دمای محیط، هدایت الکتریکی کافی دارند و کار SEM بر روی آنها نیازمند نشاندن لایه طلا نیست. لیکن لایههای تهیه شده به روش پرس پودر در دمای محیط عایق است و برای بررسی سطح آنها با SEM با لایه نازکی از طلا پوشش داده شدند.

طرحواره ساختار حسگر مقاومتی گاز در ۰ شکل ۱ نشان داده شده است. بیشتر حسگرهای مقاومتی گاز در دمای بالاتر از محیط کار میکنند و دمای کار بهینه حدود  $^{\circ}$  ۳۰۰ است [۲۵]. گرمای لازم توسط یک گرمکن الکتریکی تأمین شد که ساختار آن در شکل ۱ تشریح شده

2. Muffle

<sup>1.</sup>Thermal Annealing

است. با ایجاد اتصالات اهمی بر روی لایه حساس، ساختمان حسگر تکمیل شد. برای ایجاد اتصال الکتریکی به لایه حساس، از چسب هادی بر پایه نقره با تحمل دمایی بالا استفاده شد(Duralco-124). پس از اعمال چسب هادی، نمونه مدتی در دمای  $^{\circ}$  ۱۲۰–۱۵۰ قرار می گیرد تا اتصالات پایدار شوند.



شکل ۱ طرحواره یک حسگر گاز نمونه، ساخته شده از لایههای اکسیدی تهیه شده به روش EPD.

طرحوارهٔ سیستم استفاده شده برای آزمایش پاسخ گذرای حسگرهای گاز در شکل ۰۲ ارائه شده است. محفظه آزمایش از استوانه شیشهای بروسیلیکات تشکیل شده است. دریچههایی برای ورود وخروج گاز و حسگر مورد آزمایش، بر روی محفظه تعبیه شده است. حسگر توسط پروب نگهدارنده آن به داخل محفظه وارد میشود. نگهدارنده حسگر دارای صفحهای افقی است که بلافاصله پس از ورود حسگر، دهانه ورودی محفظه را بـسته و از نشت گاز به بیرون ممانعت می کند. همزمان با داخل کردن حسگر به محفظه آزمایش، ثبت کردن یاسخ گذرا توسط رسام x-y آغاز می شود. عمل ثبت کردن تا زمانی ادامه مى يابد كه پاسخ به حالت ماندگار برسد. زمان پاسخ حسگر برابر زمان رسیدن پاسخ حسگر به ۰/۸ حداکثر آن تعریف شده است که پس از نرمالیزه کردن پاسخ، اندازه گیری می شود. جزیبات روش اندازه گیری و عملیات کالیبراسیون در جای دیگری ارائه شده است[۲۴،۲۰].

#### ٣- نتايج و بحث

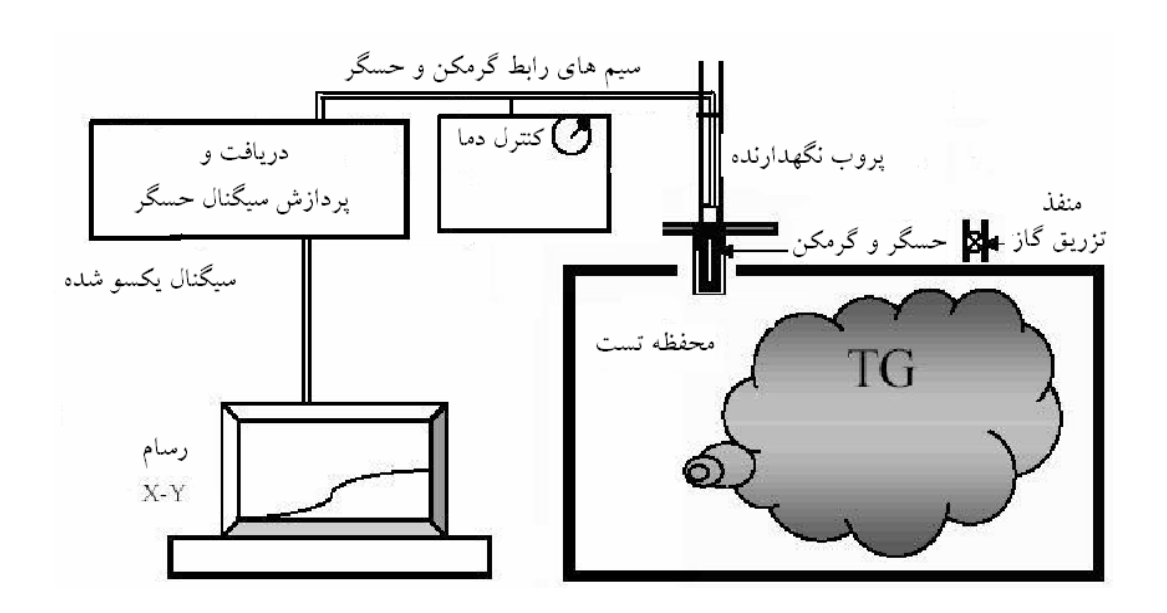
ریزتصویر لایههای حساس حاصل از فرایندهای مختلف

در شکلهای ۳ تا ۵ ارائه شده است. شکل ۳- الف نشانگر تصویر ریزساختار نمونهٔ لایههای نشانده شده به روش LPCVD است. سطح لایه، نشان دهنده ریزساختار غیر متخلخلی است که باعث دشواری نفوذ گاز هدف به درون ساختمان لایه حساس و تعامل با محل اتصال دانهها می شود. اندازه متوسط دانهها به روش آماری از روی شکل ۳- الف mm می براورد شد. در شکل ۳- ب، ریز ساختار نمونهٔ لایههای نشانده شده به روش PVD، پس از ترمیم حرارتی، نشان داده شده است. مشاهده می شود که لایه بر اثر کریستالی شدن، تغییر حجم داده و حفرهها و ترکهایی بر سطح آن ظاهر شده است. تأثیر این حفرهها بر پاسخ حسگر، در ادامه بحث می شود.

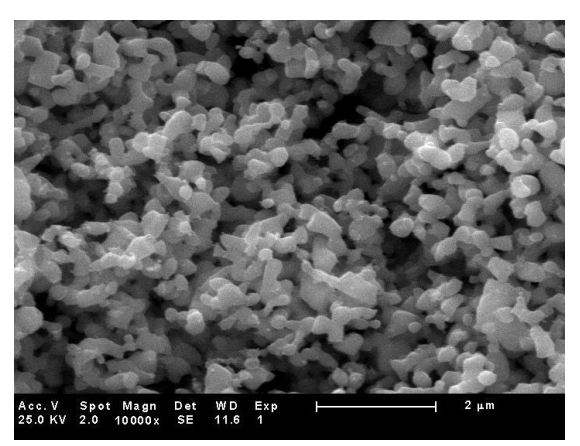
ریزتصویر لایه اکسید روی حاصل از فرایند EPD بر روی زیر پایهای از آلیاژ آلومینو فرو کروم پس از تفجوشی در ۰ شکل ۴ دیده می شود. اتصال ایجاد شده بین دانه ها در طول فرایند تفجوشی، در این شکل به وضوح دیده می شود. تخلخل لایه حاصل چشمگیر است. متوسط ابعاد دانه ها از روی میکرو گراف به دست آمده، در حدود ۲۰۰mm

ریز تصویر بدنه های اکسید روی و اکسید قلع شکل داده شده از طریق پرس کم فشار پودر، پس از تفجوشی در دمای به ترتیب  $^{\circ}$  ۱۰۰۰ و  $^{\circ}$  ۱۵۰۰ در شکلهای  $^{\circ}$  الف و ب ارائه شده است.

<sup>1-</sup> Sintering Aid

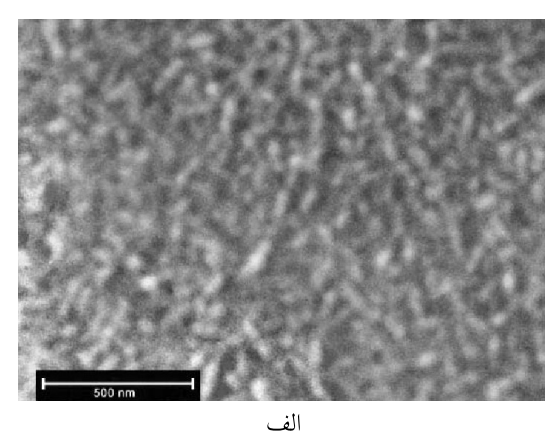


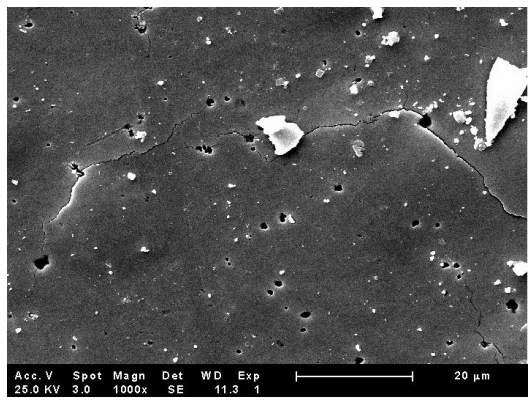
شکل ۲ طرحواره سامانه به کار رفته برای ثبت کردن پاسخ گذرای حسگرهای نمونه.



شکل ۴ ریزتصویر لایه ZnO تشکیل شده به روش EPD پس از تفجوشی.

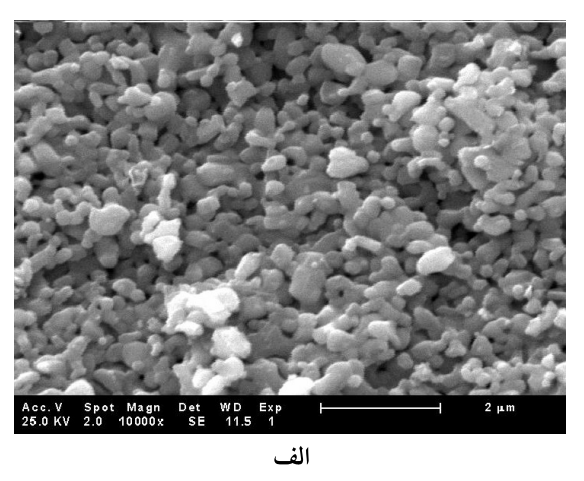
پس از ساخت حسگر، پاسخ گذرای حسگرهای گاز نمونه به گازهای مختلف هدف ثبت شد. برای ایس کار هوای محفظه آزمایش با سطح معینی از گاز هدف مورد نظر آلوده می شود. پس از حصول تعادل، حسگر به داخل محفظه وارد و ثبت پاسخ آغاز می گردد. به علت تفاوت حساسیت حسگرها، لازم است پاسخهای گذرا برای امکان مقایسه، نرمالیزه شوند. عامل نرمالیزاسیون بر اساس پاسخ مانا یعنی حداکثر هدایت الکتریکی حسگر تعیین

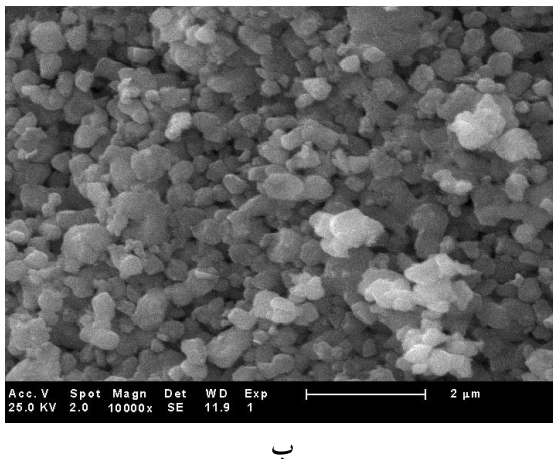




شکل  $^{\mathbf{r}}$  ریزتصویر لایه  $SnO_2$  نشانده شده: (الف)با روش CVD ؛ و(ب) PVD پس از عملیات حرارتی.

می شود، بدین ترتیب که پس از ثبت پاسخ گذرا، هدایت حسگر در هر لحظه به هدایت حداکثر (نهایی) تقسیم می شود.

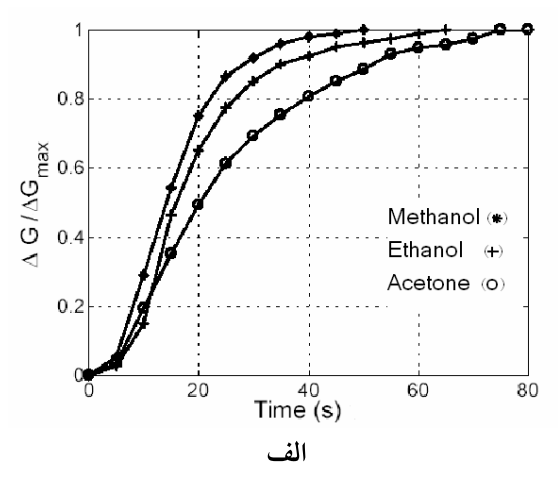


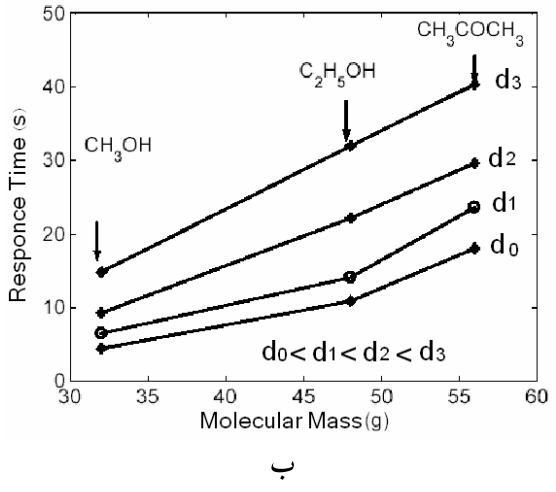


شکل ۵ ریزتصویر بدنههای ساخته شده به روش پرس پودر پس از تفجوشی: (الف) بدنههای اکسید روی (ب) اکسید قلع حاوی ۲٪ افزودنی SiO2.

در شکل ۰۶-الف پاسخ گذرای نرمالیزه شده حسگری که لایه حساس آن SnO<sub>2</sub> است و به روش LPCVD تهیه شده، برای سه گاز مختلف هدف مشاهده می شود. ملاحظه می شود که زمان پاسخ حسگر با افزایش وزن ملکولی گاز هدف افزایش می یابد. مشابه منحنیهای ارائه شده در شکل ۶-الف را برای چهار حسگر گاز وش SnO<sub>2</sub> که فقط در ضخامت لایه حاصل از روش LPCVD، که فقط در ضخامت لایه حساس متفاوت بودند، ترسیم کرده و زمان پاسخ آنها را

مقایسه کردیم. رابطه زمان جواب حسگر با وزن ملکولی گاز هدف برای چهار حسگر مذکور در ۶- ب ترسیم شده است. این شکل مؤید ارتباط مستقیم زمان پاسخ و وزن ملکولی گاز هدف است که برای چهار نمونه ثابت شده است. در این آزمایشها تراکم گاز هدف ثابت و برابر ۴۰۰۰ppm بود.



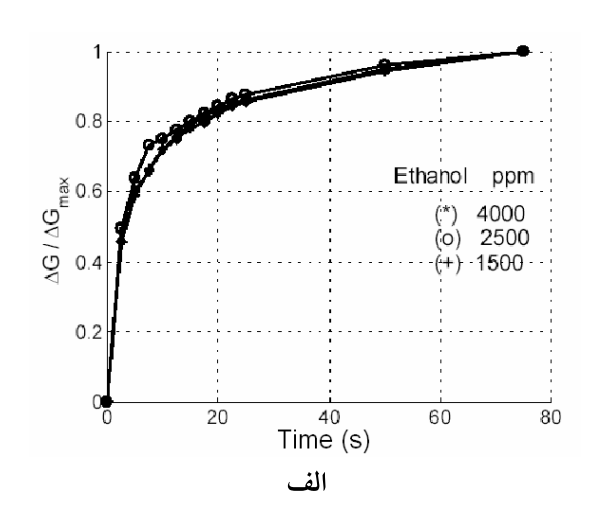


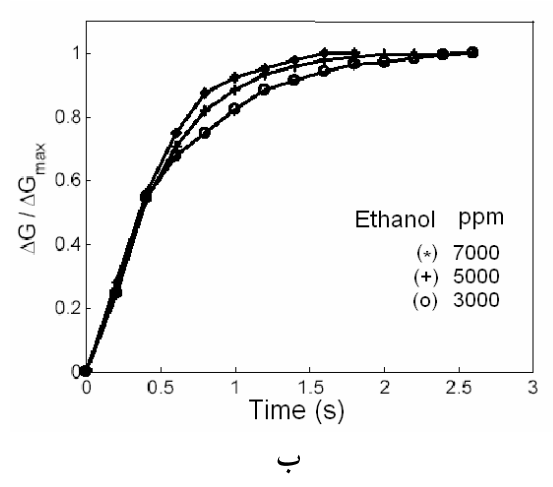
 $SnO_2$  پاسخهای گذرای نرمالیزه شده حسگر گاز LPCVD حاصل از روش LPCVD برای سه گاز هدف مختلف با تراکم ppm (الف)؛ نمودار تأثیر توأم ضخامت M و وزن ملکولی گاز بر سرعت پاسخ M.

پاسخ گذرای نرمالیزه شدهٔ حسگرگاز  $SnO_2$  حاصل از روش PVD به گاز اتانل با سه تراکم مختلف در شکل V الف ترسیم شده است. در محدودهای از تراکم گاز

فنی و مهندسی مدرس

هدف (۱۰۰۰-۲۰۰۰ باسخ حسگر تقریباً مستقل از تراکم بوده و در خارج از ایس محدوده، فاصله پاسخها افزایش مییابد. تحلیل ریاضی ارتباط پاسخ گذرا با تراکم گاز در جای دیگری بحث شده است [۲۰]. عدم وابستگی پاسخ زمانی به تراکم گاز خصوصیت مفید وجالب توجهی است و در برخی از روشهای تشخیص گاز، از ایس خصوصیت برای شناسایی گازها استفاده می شود[۲۰]. نمونهای از پاسخ حسگرهای ساخته شده به روش EPD در مشکل ۷- ب ارائه شده است. پاسخها برای سه تراکم مختلف گاز اتانل نشان داده شده است. مشاهده می شود که زمان پاسخ این حسگرها کمتر از ۱ ثانیه است.





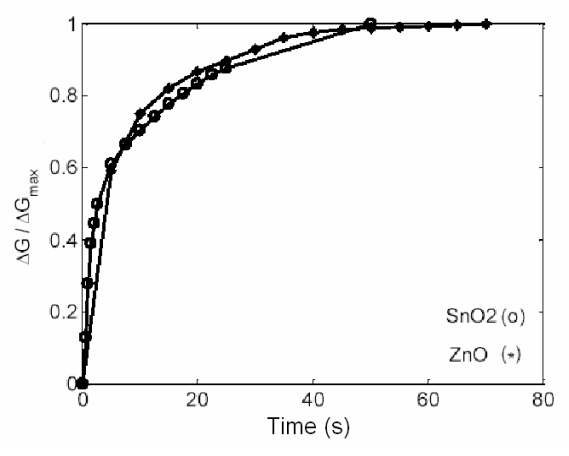
شکل ۷ پاسخهای گذرای حسگر گاز  $SnO_2$  تهیه شده به روش PVD: (الف) و حسگرگاز ZnO تهیه شده به روش EPD (ب) به بخار اتانل با سه تراکم مختلف.

ایسن سرعت زیاد، با توجه به ساختار لایه حساس (شکل ۴) قابل توجیه است. تخلخل زیاد (۸۰٪)، همراه با دانهبندی ریز ( ۱۰۰۱۳) و ضخامت میکرونی باعث شده است که رسیدن گاز به سطح مؤثر ذرات، با سرعت زیادی انجام شود. به علت زمان کوتاه پاسخ، تفاوت زمان پاسخ در تراکمهای مختلف گاز هدف قابل توجه شده است و می توان چنین نتیجه گرفت که در این حسگرها زمان پاسخ، به تراکم گاز هدف نیز بستگی دارد. این نتایج زمان پاسخ، به تراکم گاز هدف نیز بستگی دارد. این نتایج از نظر تأیید نتایج گزارش شده در خصوص سرعت استثنایی این حسگرها نیز – که برای اولین بار در دانشگاه صنعتی خواجه نصیرالدین طوسی تجربه و گزارش شده است.

پاسخ گذرای حسگرهای حاصل از روش پرس کم فشار پودر در شکل ۸ نشان داده شده است. دیده می شود که سرعت پاسخ ایس حسگرها، اگرچه بر پایه دو نوع نیمههادی متفاوت ساخته شدهاند، تقریباً یکسان است. این امر نشان دهنده این واقعیت است که عوامل غالب در تعیین پاسخ گذرای ایس حسگرها، بافت لایه، درصد تخلخل و ضخامت زیاد (mm۲-) است که این عوامل در هر دو مورد مشابه است. سادگی کنترل ضخامت و تخلخل لایه حساس در این روش و عدم حساسیت زیاد به ویژگیهای فیزیکی وشیمیایی ماده اولیه، امکان ساخت ساده حسگرهای گاز با پاسخهای مشابه و تکرارید در را

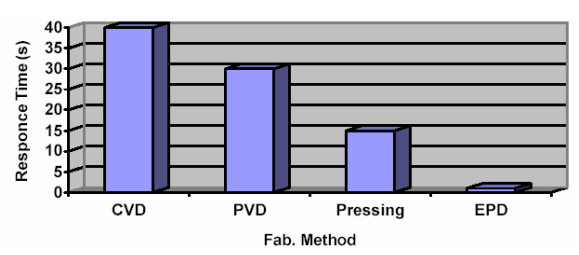
تأثیر اندازه دانهٔ لایهٔ حساس در عملکرد حسگر گاز، در این مقوله همواره مورد بحث بوده است [۳۴]. عموماً نظر بر این است که دانه ریزتر باعث کارایی بیشتر حسگر گاز می شود. لیکن در کلیهٔ کارهای مقایسهای گزارش شده، روش ساخت ثابت بوده است [۳۴]. در کار حاضر نیز ملاحظه شد که برای مثال در میان نمونههای ساخته شده به روش CVD، دانه ریزتر، حساسیت وسرعت پاسخ بیشتری را نتیجه می دهد. لیکن نکته جدید آن است که بیشتری را نتیجه می دهد. لیکن نکته جدید آن است که این قاعده در مقایسه بین دو روش ساخت مختلف صحت

ندارد. برای مثال عملکرد نمونه حاصل از روش CVD به مراتب کندتر و ضعیف تر از نمونه شکل گرفته از طریق EPD بوده است، در حالی که دانه بندی مورد اول به مراتب ریزتر از دومی است. علت این موضوع، همچنان که ذکر شد، تخلخل بیشتر در نمونه EPD است.



شکل ۸ پاسخ گذرای حسگرهای گاز ساخته شده از بدنههای  $ZnO,SnO_2$  حاصل از روش پرس پودر، نسبت به گاز استن با تراکم  $ZnO,SnO_2$ .

حسگرهای گاز حاصل از روشهای مختلف ساخت، از نظر سرعت پاسخ مقایسه شد. نتیجه این مقایسه در شکل ۹ ارائه شده است. این شکل، سریعترین پاسخ را به حسگرهای حاوی لایه EPD نسبت می دهد. در سمت دیگر نیز کندترین پاسخ به حسگرهای ساخته شده بر اساس لایههای CVD مربوط می شود. ضخامت لایه حساس در حسگرهای حاصل از روش پرس پودر ۱۰۳ برابر از ضخامت لایههای PVD و CVD بیشتر است. با وجود این، به علت ضریب تخلخل بالا، این نوع حسگرها زمان پاسخ کمتری دارند. به نظر می رسد که نقش ضریب تخلخل در پاسخ گذرا به مراتب با اهمیت تر از سایر خصوصیات فیزیکی لایه و گاز مورد آزمایش است.



شکل ۹ مقایسه متوسط زمان پاسخ، اندازه گیری شده برای ۱۰ نمونه از حسگرهای گاز حاصل از روشهای ساخت متفاوت Powder Pressing .PVD .CVD

### ٤- نتيجه گيري

اهمیت روش ساخت لایههای نیمههادی اکسیدی مورد مصرف در ساخت حسگرهای مقاومتی گاز، برای اولین بار به صورت مقایسه ای مورد بررسی تجربی قرار گرفت. لایههای حساس به گاز با روشهای PVD ، LPCVD، EPD و "پرس كم فشار پودر" تهيه و پاسخ گذاري حسگرهای حاصل از آنها ثبت و مقایسه شد. مشاهده شد که مهمترین عامل در تعیین پاسخ گذرای حسگر، بافت و ضريب تخلخل لايه حساس است. تأثير ضخامت لايـه و اندازه دانه نيز مورد بحث قرار گرفت. مشخص شد كه سرعت پاسخ بهطور مستقیم به ضریب تخلخل لایه حساس بستگی دارد، لیکن در تخلخل ثابت، سرعت یاسخ با افزایش ضخامت لایه حساس کاهش می یابد. نشان داده شد که افزایش جرم مولکولی گاز هدف، باعث افزایش زمان یاسخ می شود. همچنین نشان داده شد که در بحث تأثیر اندازه دانه بر عملکرد حسگرهای گاز، تأثیر غیر مستقيم تخلخل لايه حساس حائز اهميت است. نتايج نشان می دهد که این اثر غیر مستقیم، در شرایطی می تواند از اثر مستقیم اندازه دانهها بزرگتر شده و آن را بهطور کامل پوشش دهد. در بین تمام نمونههای بررسی شده، حسگر ساخته شده بـه روش EPD، بـا داشـتن بيـشترين تخلخل، سریعترین بوده و حسگرهای تولید شده به روش CVD، على رغم داشتن ضخامت كم، بمعلت تخلخل اندک، کندترین پاسخ را داشتند.

[8] Penza, M; Cassano G and Tortorella. F; "Gas recognition by activated WO3 thin-film sensors array", *Sensors and Actuators*, B 81; 2001; 115-121.

- [9] Romain, A.C; Nicolas, J; Wiertz, V; Maternova J and André, Ph; "Use of a simple tin oxide sensor array to identify five malodours collected in the field", Sensors and Actuators, B 62; 2000; pp. 73-79
- [10] Sharm, R K; Chan, P C H; Tang, Z; Yan, G; I-Ming H; Sin, J K O; et al, "Sensitive, selective and stable tin dioxide thin-films for carbon monoxide and hydrogen sensing in integrated gas sensor array applications", *Sensors and Actuators*, B 72; 2001; pp.160-166, .
- [11] Ghaffarzadeh-Kermani, B; Schiffiman, S Sand Nagle, H T; "Using neural networks and genetic algorithm to enhance performance in an electronic nose", IEEE Trans. on Biochemical Engineering; Vol 46, No. 4; 1999; pp. 429-439
- [12] Schweizer-Berberich, M; Zdralek, M; Weimar, U; Gopel, W; Viard, T; Martinez, D; Seube, A and Peyre-Lavigne, A; "Pulsed mode of operation and artificial neural network evaluation for improving the CO selectivity of SnO<sub>2</sub> gas sensors", *Sensors and Actuators*, B 65; 2000; pp. 91-93
- [13] Lee,D. S; Jung, J. K; Lim,J. W. J; Huh S and Lee, D D; "Recognition of volatile organic compounds using SnO<sub>2</sub> sensor array and pattern recognition analysis", *Sensors and Actuators*, B 77; 2001; pp.228-236
- [14] Kwon, C H; Yun, D H; Hong, H K; Kim, S; Lee, R; Lim, K H Y and Yoon, K H; "Multi-layered thick-film gas sensor array for selective sensing by catalytic filtering

#### ٥- منابع

- [1] Simon, I; Bârsan, N; Bauer, M and Weimar, U; "Micromachined metal oxide gas sensors: opportunities to improve sensor performance", *Sensors and Actuators* B 73, 2001; pp.1-26
- [2] Maffeïs, T G; Owen, G T; Penny, M W; Starke, T K H; Clark, S A; Ferkel, H and Wilks, S P; "Nano-crystalline SnO<sub>2</sub> gas sensor response to O<sub>2</sub> and CH<sub>4</sub> at elevated temperature investigated by XPS", Surface Science, 520, 2002; pp.29-34.
- [3] Williams, D E and Pratt, K F E; "Microstructure effects on the response of gas-sensitive resistors based on semiconducting oxides", Sensors and Actuators, B 70; 2000; pp.214-221,
- [4] Sayago, I; Gutiérrez, J; Arés, J; Robla, L; Horrillo, J I; Rino, M C; Getino, J and Agapito, J A; " The effect of additives in tin oxide on the sensitivity and selectivity to NOx and CO", *Sensors and Actuators*, B 26-27; 1995; pp.19-23.
- [5] Mangamman, G; Jayaraman, V; Gnanasekaran, T and Periaswami, G; "Effect of silsca additions on H<sub>2</sub>S sensing properties of Cu-SnO<sub>2</sub> sensors", *Sensors* and Actuators, B 53; 1998; pp.133-139.
- [6] Wong, K K L; Tang, Z; Sin, J K O; Chan, Ph. C H; Cheung, P W and Hiraoka, H; "Selectivity enhancement of tin dioxide gas sensor with polymer membrane", *IEEE Conf. on Sensors and Actuators*, 1995; pp.179-182.
- [7] Gurbuz, Y; Kang, W P; Davidson, J. L and Kerns, D. V; "Current conduction mechanism and gas adsorption effects on device parameters of the Pt/SnOx/diamond gas sensor", IEEE Transaction Electron Devices, Vol. 46 No. 5; 1999; pp.914- 920.

[23] Hossein-Babaei, F and Orvatinia, M; "A novel approach to hydrogen sensing", *IEEE Sensors Journal*; Vol. 4; No. 6; 2004; pp.802-806

[۲۴] عروتی نیا، محمد،؛ "سنسورهای مقاومتی گاز تشخیصی بر اساس تحلیل رفتار گذرا"، پایان نامه دوره دکتری مهندسی برق-الکترونیک، زیر نظر دکتر فرامرز حسین بابایی، دانشگاه صنعتی خواجه نصیرالدین طوسی، تهران، ایران، مهر ۱۳۸۲.

- [25] Hossein-Babaei, F and Orvatinia, M; "
  Thickness dependence of sensitivity in thin film tin oxide gas sensors deposited by vapor pyrolysis", *International Journal of Engineering*, Vol. 16, No.1; 2003; pp.33-40.
- [26] Hossein-Babaei, F and Orvatinia, M; "Analysis of thickness dependence of the sensitivity in thin film resistive gas sensors", Sensors and Actuators, B 89; 2003; pp. 256-26.
- [27] Hossein-Babaei, F and Raissi-Dehkordi, B, "Fabrication of Poly- Si in Films by Electrophoretic Deposition", *Electronics Lett.*, 37; 2001; pp.1090-1092.
- [28] Hossein-Babaei F and Taghibakhsh, F; "Electrophoretically deposited zinc oxide thick film gas sensors", *Electronics Lett*, 36; 2000; pp.1815-1816.
- [29] Hossein-Babaei, F. and Mohammad Zadeh, J; "Fabrication and test of a zinc oxide humidity sensor", 8<sup>th</sup> Iranian Elec. Eng. Conf. Vol. 3; 2000; Isfahan
- [30] Hossein-Babaei F and Taghibakhsh, F;

  "A new method for fabrication of resistive thick film gas sensor", 103<sup>rd</sup>

  Annual Meeting & Exposition, Am.

  Ceram. Soc., abstract book; 2001; pp.106,
- [31] Ji, Y; Choi, H and Man, M; "Elecrical and CO gas sensing properties of ZnO-SnO2 composits", *Sensors and Actuators*, B 52; 1998; pp. 251-256

- technology", Sensors and Actuators, B 65; 2000; pp. 327-330,.
- [15] Brailsford, A D; Yussouff M and Logothetis, E M; "A first principles model of metal oxide gas *sensors for measuring combustibles*", Sensors and Actuators, B: 49; 1998; pp. 93-100
- [16] Llobet, E; Vilanova, X; Brezmes, J; Sueiras, J. E and Correig, X; "Transient response of thick film tin oxide gas sensor to multicomponent gas mixtures", *Sensors and Actuators*, B 47; 1998; pp.104-112.
- [17] Boeker, P; Wallenfang O and Horner, G; "Mechanistic model of diffusion and reaction in thin sensor layersthe DIRMAS model", *Sensors and Actuators*, B 83; 2002; pp.202-208,.
- [18] Setkus, A; "Heterogeneous reaction rate based description of the response kinetics in metal oxide gas sensors", *Sensors and Actuators*, B 87; 2002; pp.348-357
- [19] Matsunaga, N; Sakai, G; Shimanoe, K and Yamazoe, N; "Diffusion equation-based study of thin film semiconductor gas sensor-response transient", *Sensors and Actuators*, B 83; 2002; pp.216-221.

[۲۰] حسین بابایی، فرامرز و عروتی نیا، محمد؛ "استخراج پارامترهای تشخیص از پاسخ گذرای حساسهٔ گاز الکتروسرامیکی متخلخل ً، نشریه دانشکده فنی؛ جلد ۳۸۸ شماره ۳۳ شهریور ۱۳۸۳؛ صفحه ۳۵۶–۳۵۶

- [21] Hossein-Babaei, F and Orvatinia, M;"The transient regime gas diffusion—physisorption through a micro-porous barrier", *IEEE Sensors Journal*, Accepted for publication 2004.
- [22] Hossein-Babaei, F and Orvatinia, M; "Gas diagnosis based on selective diffusion retardation in air filled capillaries", *Sensors and Actuators*, B 96; 2003; 298-303.

کارشناسی ارشد به سر پرستی دکتر فرامرز حسین بابایی سال ۱۳۷۹.

- [34] Martinelli, G and Carotta, M C; "Sensitivity to reducing gas as a function of energy barrier in SnO2 thick-film gas sensor", *Sensors and Actuators*, B7; 1992; pp.717-720.
- [32] Kocemba, I; Szafran, S; Rynkowski, J and Paryjczak, T; "The properties of strongly pressed tin oxide-based gas sensors", *Sensors and Actuators*, B 79; 2001; pp. 28-32.
- [۳۳] تاکی، محسن، "ساخت سنسورهای گاز با استفاده از پودر SnO2 با افزودنی SiO2"، دانشگاه صنعتی خواجه نصیراللدین طوسی، دانشکده برق، پایان نامه